

秋田大学 正員
○学生員宮川 勇勝
五十嵐

1. はじめに

有機質土の中でも泥炭といわれる高有機質土を対象として、発生間ゲキ水圧からダイレイタント特性について、考察を行なつた試みはない。そこで飽和供試体の非排水三軸圧縮試験から、せん断中ににおけるダイレイタント特性について若干の検討を行なつたい。

2. 試料および実験方法

試料は雄物川工流（横手市郊外）より採取したものであり、その物理性を表-1に示す。表に示す圧縮指數 C_c よび膨張指數 C_s は等方応力による $e \sim \log \bar{\sigma}_m$ 曲線での平均的傾きであり、それぞれ応力増加時および減少時に対するものである。（ $\bar{\sigma}_m$ ：平均有効主応力）この試料は液性限界以上の含水比で十分練り返した状態で用い、あらかじめ圧密時の拘束圧よりやや低い圧力を予圧密した後、ほぼ直径 3.5 cm、高さ 8.75 cm の円柱形に成形した。供試体の圧密、および膨張は等方圧力のみで行ない、圧密時の拘束圧はそれぞれ 1.0, 1.5, 2.0, 2.5, 3.0 kg/cm² とし、膨張過程は 2.0, 2.5, 3.0 kg/cm² で等方圧密した供試体について行ない、拘束圧はそれぞれ 0.1, 0.2, 0.3, 0.5, 0.7, 1.0 kg/cm² とした。また圧密、膨張を促進するため、ペーパードレーンを用いた。圧密過程終了は残留間ゲキ水圧 3% 以下とし、膨張終了は間ゲキ水圧が拘束圧減少量の 2% 以下の消散により判定した。その後ただちに一定のせん断速度（0.0096 mm/min.）で非排水せん断試験を行なう。間ゲキ水圧の測定は供試体の底端部とした。なら圧密開始前に Skempton の間ゲキ水圧係数 B が 0.95 以上になるまで back Pressure E を与えた。

3. 結果および考察

土が非排水状態でせん断を受けるとその体積変化傾向は、間ゲキ水圧の変化 Δu としてあらわされる。体積ひずみ ϵ_v として、次の形式を用いる。

$$\epsilon_v = 3C_s \cdot \Delta \bar{\sigma}_m + D \cdot \Delta \sigma_{oct} \quad \dots (1)$$

ここで ϵ_v は体積ひずみ、 $\Delta \bar{\sigma}_m$ は平均有効主応力の増分、 $\Delta \sigma_{oct}$ は正八面体面上のせん断応力の増分である。非排水状態において $\epsilon_v = 0$ として、間ゲキ水圧に関して解けば

$$\Delta u = \Delta \bar{\sigma}_m + (D/3C_s) \cdot \Delta \sigma_{oct} \quad \dots (2)$$

となる。ここで Δu は発生間ゲキ水圧であり、 $\Delta \bar{\sigma}_m$ は平均主応力増分である。土粒子骨格構造の等方応力による体積圧縮率 $3C_s$

試料	比重 G_s	強度指標 $I_d (\%)$	液性限界 $LL (\%)$	塑性指標 I_p	圧縮指數 C_c	膨張指數 C_s
有機質土	1.62	73	486	262	3.91	0.46

表-1 試料の物理性

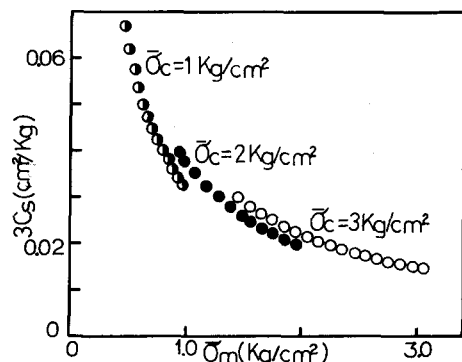


図-1 ̄σ_m の減少過程の 3C_s の値

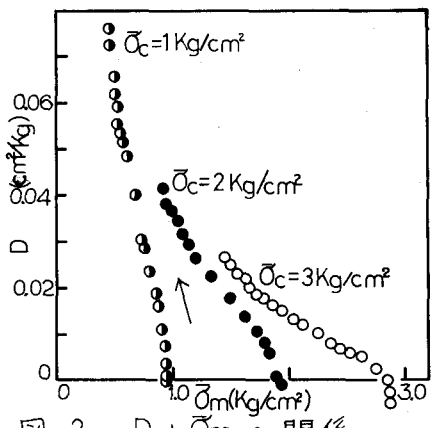


図-2 D と ̄σ_m の関係

$$は、 \quad 3G_s = \frac{C \log(\bar{\sigma}_m + \Delta\bar{\sigma}_m) / \bar{\sigma}_m}{(1+e) \cdot \Delta\bar{\sigma}_m} \quad \dots (3)$$

として求まる。²⁾ ここで係数 C として本実験のようにセシ断中平均有効主応力が減少する場合には、対応する e ~ $\log \bar{\sigma}_m$ 曲線にかける傾きである膨潤指數 C_{cs} を用いる方が適当と考えられる³⁾。そこで $C = C_{cs}$ としてある応力範囲で $3G_s$ の変化を示したのが図-1であり、最大干圧 $\bar{\sigma}_c$ により若干異なることになる。

次にダイレイタンシー係数 D_l は Skempton の間ゲキ水圧係数 A を用いれば $D_l = (9G_s/\bar{\sigma}_c)(A - \frac{1}{3})$ となり。

図-2, 図-3 は $\bar{\sigma}_m$, $\Delta\bar{\sigma}_{oct}$ に対する関係を示す。 $\bar{\sigma}_m$ の減少、 $\Delta\bar{\sigma}_{oct}$ の増加とともに、 D_l は増加する傾向(体積減少方向)にあることが理解される。

また(1), (2)式からダイレイタンシーによる体積変化量は $D_l \Delta\bar{\sigma}_{oct}$ であり、 $3G_s(\Delta\sigma - \bar{\sigma}_m)$ に等しいことから、ダイレイタンシーによる体積変化傾向は間ゲキ水圧としてあらわしている。ダイレイタンシー量と $\Delta\bar{\sigma}_{oct}/\bar{\sigma}_m$ は線形関係はあることが知られている⁴⁾。そこでダイレイタンシーに相当する量 $D_l \Delta\bar{\sigma}_{oct}$ ($= 3G_s(\Delta\sigma - \bar{\sigma}_m)$) と $\Delta\bar{\sigma}_{oct}/\bar{\sigma}_m$ の関係を整理したのが図-4 である。これから有機質土の非排水せん断中にあっても、圧密圧力に関係なく、ほぼ線形関係が認められる。すなはち発生間ゲキ水圧からダイレイタンシーに相当する量を求めるところにより、ダイレイタンシー特性についての一応の把握ができるものと思われる。

せん断中に体積変化がないことを考慮すれば、軸方向にズミ ϵ_1 はせん断にズミに比例する量となると思われるから、 $D_l \Delta\bar{\sigma}_{oct}$ と ϵ_1 の関係をみると図-5 のようになる。これからダイレイタンシー相当量は圧密圧力に無関係になることがいえるものと思われる。

以上の結果から有機質土にあっても、発生間ゲキ水圧から求めたダイレイタンシー相当量により、非排水せん断時ににおけるダイレイタンシー特性解明の一歩段となりうるものと思われる。

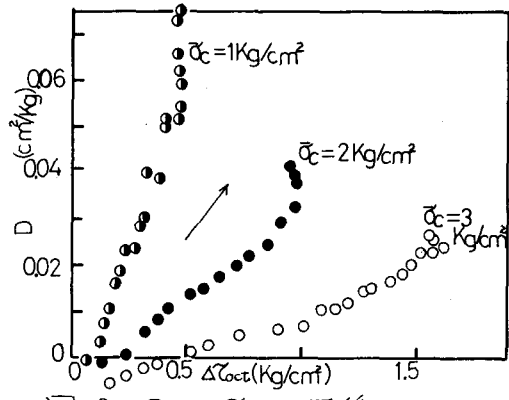


図-3 D と $\Delta\bar{\sigma}_{oct}/\bar{\sigma}_m$ の関係

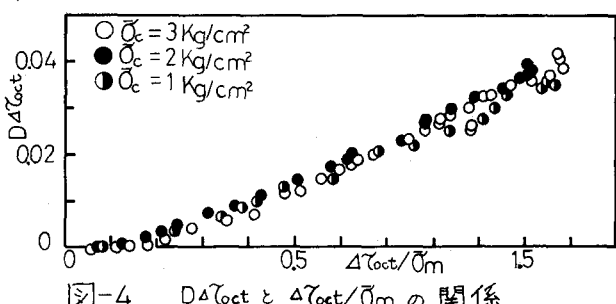


図-4 $D_l \Delta\bar{\sigma}_{oct}$ と $\Delta\bar{\sigma}_{oct}/\bar{\sigma}_m$ の関係

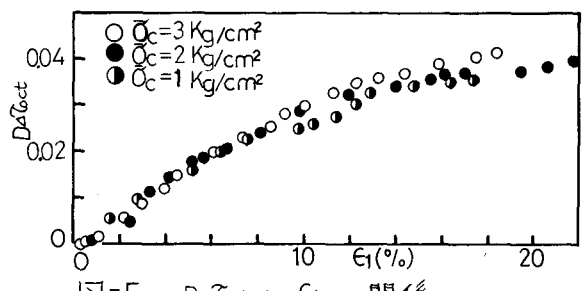


図-5 $D_l \Delta\bar{\sigma}_{oct}$ と ϵ_1 の関係

4. 参考文献

- 1) たとえば R.F. Scott; "Principles of Soil Mechanics", P 270 ~ P 275
- 2) 宮川・岩崎; "有機質土の圧密特性に関する実験的研究", 第9回土壤工学研究発表会講演集 P123 ~ P126 1974年
- 3) 宮川・三浦・岩崎; "有機質土の強度試験に関する一考察", 第10回土壤工学研究発表会講演集 P229 ~ P232 1975年
- 4) 柴田徹; "粘土のダイレイタンシーについて", 京大防災研究所年報第6号 P128 ~ P134 1963年